

В статье описывается алгоритм 3D-реконструкции по изображениям с определением положения камеры по особым точкам, который есть решением одной из множества задач, реализуемых через композицию матриц аффинных преобразований в однородных координатах. Алгоритм описан для простейшего случая ортогонального проецирования, когда взаимное положение камер определяется только 2-я параметрами. Однако этот алгоритм может быть легко обобщен для случаев, когда взаимное положение камер определяется большим количеством параметров, включая и центральное проецирование. Особые точки изображений выбираются и сопоставляются по алгоритму, универсальному для всех разновидностей точек.

Ключевые слова: 3D-реконструкция, особые точки, матрица, преобразование, алгоритм.

N.S. SVIRNEVSKYI
Khmelnyskiy National University

ALGORITHM FOR THREE-DIMENSIONAL RECONSTRUCTION WITH DETERMINATION OF POSITION OF THE CHAMBER ON SPECIAL POINTS

This article describes an algorithm for 3D-reconstruction of the images with the determination of the camera position on special points, which is the decision of one of the many problems to be implemented through the composition of the matrix of affine transformation in homogeneous coordinates. The algorithm is described in the simplest case of an orthogonal projection, when the relative position of the cameras is determined by only 2 parameters. However, the algorithm can be easily generalized to cases where the relative position of the cameras is determined by a large number of options, including a central projection. Specific points of images are selected and compared according to an algorithm that is universal for all varieties of points.

Keywords: 3D-reconstruction, special points, matrix, transformation, algorithm.

3D (. 1). () [1]



1. 3D

motion tracking (1981) [2] 30 [2-5]. [1, 6, 7] () [7] 2-

3D- [1]. [1] 2- ; (. . 1).

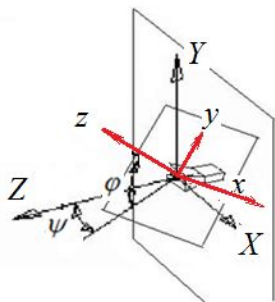
?

[1], ,

()

(. 2). [1] (1), Z,

(2 ,).



. 2.

$$x = X \cos \psi - Z \sin \psi$$

$$y = X \sin \psi \sin \varphi + Y \cos \varphi + Z \cos \psi \sin \varphi \quad (1)$$

$$z = 0$$

2-

(1)

Z

(X,Y).

(x,y)

()

1.

(X,Y)

(x,y),

Z

2.

3

(RGB)

3.

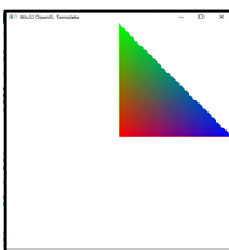
Z.

3D-

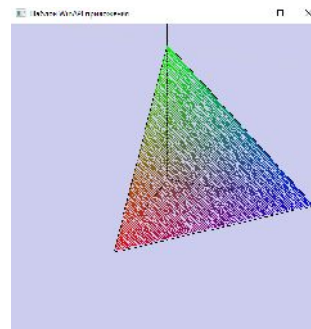
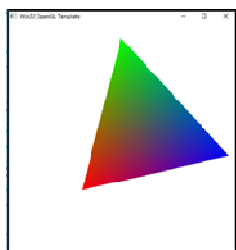
[1],

(. 3)

Z(. 4).



. 3.



. 4. 3D-

?

2

$$x_1 = X_1 \cos \psi - Z_1 \sin \psi$$

$$y_1 = X_1 \sin \psi \sin \varphi + Y_1 \cos \varphi + Z_1 \cos \psi \sin \varphi \quad (2)$$

Z.

$$\begin{aligned}
 x_2 &= X_2 \cos \psi - Z_2 \sin \psi \\
 y_2 &= X_2 \sin \psi \sin \varphi + Y_2 \cos \varphi + Z_2 \cos \psi \sin \varphi
 \end{aligned}
 \tag{3}$$

1. ...
 2. ...
 3. ... -2 ... (1).
 4. ...
 5. ...

1. ...
 2. ...
 3. ...
 4. ...
 5. ...

1. ... 3- ... 1- ...
 2. ... () ...
 (8) ... 256 ... ()
 (0) ... 255 - ...)
 Y'

$$Y' = 0.299R + 0.587G + 0.114B$$

0,000789	0,006581	0,013347	0,006581	0,000789
0,006581	0,054901	0,111345	0,054901	0,006581
0,013347	0,111345	0,225821	0,111345	0,013347
0,006581	0,054901	0,111345	0,054901	0,006581
0,000789	0,006581	0,013347	0,006581	0,000789

3x3, ... A - ... Gx Gy -
 x y.

$$\mathbf{G}_y = \begin{bmatrix} -1 & -2 & -1 \\ 0 & 0 & 0 \\ +1 & +2 & +1 \end{bmatrix} * \mathbf{A} \quad \text{and} \quad \mathbf{G}_x = \begin{bmatrix} -1 & 0 & +1 \\ -2 & 0 & +2 \\ -1 & 0 & +1 \end{bmatrix} * \mathbf{A}$$

$$\mathbf{G} = \sqrt{\mathbf{G}_x^2 + \mathbf{G}_y^2} \quad \Theta = \arctan\left(\frac{\mathbf{G}_y}{\mathbf{G}_x}\right)$$

```

1. BMP rgb:
...
RGBQUAD **rgb = new RGBQUAD[bmiHeader.biWidth];
for (int i = 0; i < bmiHeader.biWidth; i++) {
    rgb[i] = new RGBQUAD[bmiHeader.biHeight];
}
int kr = (int)bmiHeader.biWidth * 3 % 4;
if (kr != 0) { kr = 4 - kr; }
for (int j = 0; j < bmiHeader.biHeight; j++) {
    
```

```

        for (int i = 0; i < bmiHeader.biWidth; i++) {
            rgb[i][j].rgbBlue = getc(pFile);
            rgb[i][j].rgbGreen = getc(pFile);
            rgb[i][j].rgbRed = getc(pFile);
        }
        // 1-3 4
    }
    for (int i = 0; i < kr; i++) {getc(pFile);}
}
2. 3- 1- (
). 4- rgb[i][j]:

void Bmp::RgbToGray (RGBQUAD **rgb, int mx, int my) {
    int i, j;
    for (j = 0; j < my; j++) {
        for (i = 0; i < mx; i++) {
            rgb[i][j].rgbReserved = rgb[i][j].rgbRed*0.299 + rgb[i][j].rgbGreen*0.587 + rgb[i][j].rgbBlue *
            0.114;}
        }
    }
    3. ( )
    5*5. :

void Bmp::Filter(RGBQUAD **rgb, int mx, int my){
    int i, j, n, m;
    RGBQUAD **rgbtmp = new RGBQUAD*[mx];
    double g[5][5];
    g[0][0] = 0.000789; g[1][0] = 0.006581; g[2][0] = 0.013347; g[3][0] = 0.006581; g[4][0] =
    0.000789;
    g[0][1] = 0.006581; g[1][1] = 0.054901; g[2][1] = 0.111345; g[3][1] = 0.054901; g[4][1] =
    0.006581;
    g[0][2] = 0.013347; g[1][2] = 0.111345; g[2][2] = 0.225821; g[3][2] = 0.111345; g[4][2] =
    0.013347;
    g[0][3] = 0.006581; g[1][3] = 0.054901; g[2][3] = 0.111345; g[3][3] = 0.054901; g[4][3] =
    0.006581;
    g[0][4] = 0.000789; g[1][4] = 0.006581; g[2][4] = 0.013347; g[3][4] = 0.006581; g[4][4] =
    0.000789;
    for (i = 0; i < mx; i++) {rgbtmp[i] = new RGBQUAD[my];}
    for (j = 2; j < my - 2; j++) {
        for (i = 2; i < mx - 2; i++) {
            rgbtmp[i][j].rgbReserved = 0;
            for (m = 0; m < 5; m++) {
                for (n = 0; n < 5; n++) {
                    rgbtmp[i][j].rgbReserved = rgbtmp[i][j].rgbReserved + rgb[i
                    - (2 - n)][j - (2 - m)].rgbReserved*g[n][m];}
                }
            }
        }
    }
    for (j = 2; j < my - 2; j++) {
        for (i = 2; i < mx - 2; i++) {
            rgb[i][j].rgbReserved = rgbtmp[i][j].rgbReserved;
        }
    }
    delete rgbtmp;
}
4. :

void Bmp::Gradient(RGBQUAD **rgb, int mx, int my){
    int i, j, n, m, grdX, grdY, grdX1, grdY1, grdR, grdR1, grdC;
    double grdCos, angle; // cos
    double gx[3][3]; // x
    gx[0][0] = -1.0; gx[1][0] = 0.0; gx[2][0] = 1.0;
    gx[0][1] = -2.0; gx[1][1] = 0.0; gx[2][1] = 2.0;
    gx[0][2] = -1.0; gx[1][2] = 0.0; gx[2][2] = 1.0;
    double gy[3][3]; // y
    gy[0][0] = 1.0; gy[1][0] = 2.0; gy[2][0] = 1.0;
    gy[0][1] = 0.0; gy[1][1] = 0.0; gy[2][1] = 0.0;
    gy[0][2] = -1.0; gy[1][2] = -2.0; gy[2][2] = -1.0;
    RGBQUAD **rgbtmp = new RGBQUAD*[mx]; //
    for (i = 0; i < mx; i++) {rgbtmp[i] = new RGBQUAD[my];}
    //
    for (j = 3; j < my - 3; j++) {
        for (i = 3; i < mx - 3; i++) {
            grdX = 0;
            grdY = 0;
            for (m = 0; m < 3; m++) {
                for (n = 0; n < 3; n++) {
                    grdX = grdX + rgb[i - (1 - n)][j - (1 - m)].rgbReserved * gx[n][m]; // x
                    grdY = grdY + rgb[i - (1 - n)][j - (1 - m)].rgbReserved * gy[n][m]; // y
                }
            }
            grdR = sqrt(pow(grdX, 2) + pow(grdY, 2)); //
            if (grdR) {
                grdCos = (double) grdX / grdR; //
                angle = (grdY >= 0) ? acos(grdCos) : 6.28 - acos(grdCos); //
            }
        }
    }
}
// ( 0-255)

```

```

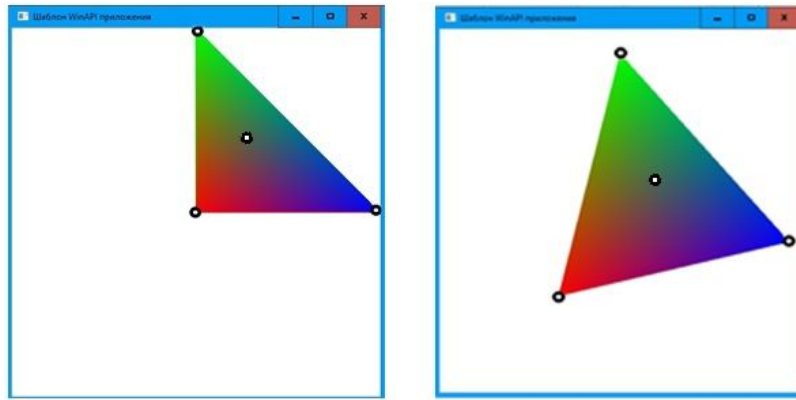
    rgbtmp[i][j].rgbRed = grdR / 6; //
    rgbtmp[i][j].rgbGreen = angle * 180/6.28;
//                                     (1/2                                     0-255)
    }
    else
    {
    rgbtmp[i][j].rgbRed = 0; //
    rgbtmp[i][j].rgbGreen = 0; //
    }
}
//
for (j = 4; j < my - 4; j++) {
    for (i = 4; i < mx - 4; i++) {
        grdX = 0; grdY = 0; grdX1 = 0;grdY1 = 0;grdC = 0;
        for (m = 0; m < 3; m++) {
            for (n = 0; n < 3; n++) {
//                                     x
                grdX = grdX + rgbtmp[i - (1 - n)][j - (1 - m)].rgbRed * gx[n][m];
//                                     y
                grdY = grdY + rgbtmp[i - (1 - n)][j - (1 - m)].rgbRed * gy[n][m];
//
//
                grdX1 = grdX1 + rgbtmp[i - (1 - n)][j - (1 - m)].rgbGreen * gx[n][m];
//                                     x
                grdY1 = grdY1 + rgbtmp[i - (1 - n)][j - (1 - m)].rgbGreen * gy[n][m];
//                                     y
                continue;
            }
        }
        grdR = sqrt(pow(grdX, 2) + pow(grdY, 2)); //
        grdR1 = sqrt(pow(grdX1, 2) + pow(grdY1, 2)); //
//                                     (                                     0-255)
        rgbtmp[i][j].rgbBlue = grdR; //
        rgbtmp[i][j].rgbReserved = grdR1/4; //
        continue;
    }
}
int angl, za, it, jt, r=10;
//
for (j = r; j < my - r; j++) {
    for (i = r; i < mx - r; i++) {
//                                     (1 / 2                                     0 - 255)
        angl = 2*rgbtmp[i][j].rgbGreen;
//                                     // 0 (360)
        if (angl < 23)za = 1;
//                                     // 45
        if (angl > 23 && angl <= 67 )za = 2;
//                                     // 90
        if (angl > 67 && angl <= 102)za = 3;
//                                     // 135
        if (angl > 102 && angl <= 157)za = 3;
//                                     // 180
        if (angl > 157 && angl <= 202)za = 5;
//                                     // 225
        if (angl > 202 && angl <= 247)za = 6;
//                                     // 270
        if (angl > 247 && angl <= 292)za = 7;
//                                     // 315
        if (angl > 292 && angl <= 337)za = 8;
//                                     // 0 (360)
        if (angl > 337)za = 1;
        switch (za){
        case 1: it = i + r; jt = j; break; // 0 (360)
        case 2: it = i + r; jt = j + r; break; // 45
        case 3: it = i; jt = j + r; break; // 90
        case 4: it = i - r; jt = j + r; break; // 135
        case 5: it = i - r; jt = j; break; // 180
        case 6: it = i - r; jt = j - r; break; // 225
        case 7: it = i; jt = j - r; break; // 270
        case 8: it = i + r; jt = j - r; break; // 315
        }
        int prgrd = 10; //
        int prgrd1 = 30; //
        int prgrd2 = 20; //
        int prangle = 15; //
        rgb[i][j].rgbReserved = (rgbtmp[i][j].rgbRed >= prgrd
        && rgbtmp[i][j].rgbBlue <= prgrd1
        && rgbtmp[i][j].rgbRed - rgbtmp[it][jt].rgbRed >= prgrd2
        && rgbtmp[i][j].rgbReserved >= prangle
        )
        ? 1 : 0;
    }
}
}
5.
( .5).
clr = RGB(rgb[i][j].rgbRed, rgb[i][j].rgbGreen,
rgb[i][j].rgbBlue);
SetPixel(hdc, p.x, p.y, clr);
if (rgb[i][j].rgbReserved == 1){
    clr = RGB(0, 0, 0);
}

```

```

//clr = RGB(255, 255, 255);
//SetPixel(hdc, p.x, p.y, clr);
Ellipse(hdc, p.x - 4, p.y - 4, p.x + 4, p.y + 4);
}

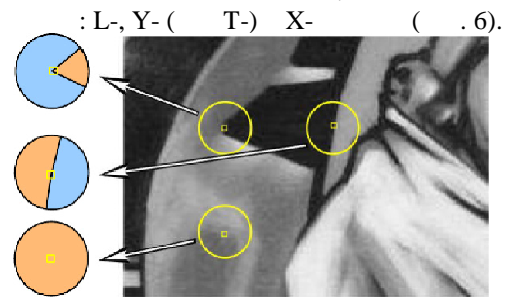
```



.5.



.6.



.7.

(.7).

() ()

1. , ()

2. , ()

3. , ()

4. , ()

1. (, ,)

2. (, ,)

3. (, ,)

(similar USAN) (, ,)

3-4 (, ,)

, (, ,)

180 (, ,)

(, ,) (180

3-

2-

$\left(\begin{matrix} 8 \\ 4- \\ 3*3 \end{matrix} \right)$

$dR > P_{max}, \quad k_{max++}$
 $dR < P_{min}, \quad k_{min++}$
 P_{max}

$k_{max}=k_{min}=4 - 180$
 $k_{max}>4 \quad k_{min}=8 - k_{max}$
 $k_{max}=8$

P_{min}

$(dR <$

1. // - 2017. - 2. - 212-218.
2. Moravec H. Rover visual obstacle avoidance // In International Joint Conference on Artificial Intelligence, Vancouver, Canada. - 1981. - P. 785-790.
3. // - 2006. - 2. - 142-146.
4. // - 2011. - 3. 1. - 33-36.
5. - 2011. - 5. 1. - 120-123.
6. // , 2015. - 270 .
7. // - 2011. - 6. - 74-78.

References

1. Svyrnevskiy N.S. Alhorytm rekonstruksyy trekhmernoii modeli po yzobrazheniyam / N. S. Svyrnevskiy // Herald of Khmelnytsky National University. - 2017. - # 2. - S. 212-218.
2. Moravec H. Rover visual obstacle avoidance // In International Joint Conference on Artificial Intelligence, Vancouver, Canada. - 1981. - P. 785-790.
3. Zhuk D.V. Vosstanovlenye trekhmernoii modeli stseny po tsyfrovym yzobrazheniyam / D.V. Zhuk, A.V. Tuzykov, A.V. Borodach // Yskusstvennyi yntellekt. - 2006. - # 2. - S. 142-146.
4. Alenyn V. A. Trekhmernaia rekonstruksyia obektov yz posledovatel'nosti yzobrazheniy / V.A. Alenyn // Molodoi uchenyi. - 2011. - # 3. T. 1. - S. 33-36.
5. Borysenko D.Y. Metody poyska uhlovykh osobennosti na yzobrazheniyakh / D.Y. Borysenko // Molodoi uchenyi. - 2011. - # 5. T. 1. - S. 120-123.
6. Svyrnevskiy N.S. Osnovy razrabotky hrafycheskykh prylozheniy / N.S. Svyrnevskiy, S.S. Kovalchuk. - Khmelnytskyi : KhNU, 2015. - 270 s.
7. Svyrnevskiy N.S. Vosstanovlenye parametrov prostranstvennoho obekta po yzobrazheniyu / N.S. Svyrnevskiy // Herald of Khmelnytsky National University. - 2011. - # 6. - S. 74-78.

/Peer review : 14.02.2017 . /Printed :24.10.2017 .